

论著

Comparison of the Effectiveness of Digital Breast Tomography, Ultrasound and CE-MRI in the Diagnosis of Breast Diseases*

LI Hong-en, LI Hui, ZHANG Li, ZENG Yi-hui, JIANG Kui-ming, ZHANG Yan*.

Department of Radiology, Guangdong Women's and Children's Hospital, Guangzhou, 51000, Guangdong Province, China

ABSTRACT

Objective To study the application value of digital breast tomosynthesis (DBT), ultrasound and contrast-enhanced magnetic resonance imaging (CE-MRI) in the diagnostic efficiency of breast diseases. **Methods** The clinical data of 251 patients with surgically and pathologically confirmed breast diseases were retrospectively analyzed, and preoperative DBT, ultrasound and CE-MRI examinations were performed. The diagnostic efficacy and advantages and disadvantages of each test in the diagnosis of breast diseases were analyzed. **Results** For 251 patients with pathologically diagnosed breast diseases, the accuracy of DBT, ultrasound and CE-MRI in diagnosing breast diseases was 88.05%, 91.63% and 93.63%, respectively. CE-MRI had the highest accuracy rate, which was statistically different from DBT ($P<0.05$), and slightly higher than ultrasound without statistically significant difference. In terms of sensitivity and negative predictive value, CE-MRI was significantly higher than DBT and ultrasound, and the difference was statistically significant ($P<0.05$). In terms of specificity and positive predictive value, ultrasound was higher than DBT and CE-MRI, and the difference was not statistically significant. The AUC values of DBT, ultrasound and CE-MRI in the diagnosis of benign and malignant breast diseases were 0.884, 0.919 and 0.932, respectively. **Conclusion** DBT, ultrasound and CE-MRI have high application value of clinical diagnosis of breast diseases, furthermore CE-MRI has high accuracy, sensitivity and negative predictive value, while ultrasound has high specificity and positive predictive value.

Keywords: Digital Breast Tomosynthesis; Ultrasound; Enhanced Magnetic Resonance; Breast Cancer

乳腺癌在女性恶性肿瘤中居首位，占女性肿瘤患者的23%^[1]，国内文献报道乳腺癌患者五年存活率为72.7%^[2]，因此早期发现、早期诊断、早期治疗对提高乳腺癌治愈率有重要意义^[3-4]。目前筛查早期乳腺癌首选方法是全数字化乳腺摄影(full field digital mammography, FFDM)，但在显示致密型乳腺疾病中显示欠佳^[5-6]。超声乳腺检查因其检查无辐射、具有良好的组织分辨率、能提供血流运行情况常用在早期乳腺癌筛查中，尤其是显示扁小乳房及边缘病灶有独特优势^[7]。DBT检查利用不同投射角度进行乳腺三维重建成像，能够降低乳腺组织的重叠，提高乳腺癌检出率^[8]。乳腺增强磁共振检查是使用钆对比剂进行乳腺部位连续快速扫描，从而分析乳腺病灶供血情况及强化率，通过计算得到病灶时间-信号强度曲线来分析病灶的良恶性，对致密型乳腺有很大优势^[9]。本文回顾性分析251例临床可疑乳腺疾病患者，探讨DBT、常规超声、CE-MRI检查技术在乳腺疾病术前诊断中的应用价值，方便临床进一步乳腺疾病诊断及治疗。

1 资料与方法

1.1 一般资料

回顾性分析2019年4月至2020年7月临床怀疑乳腺疾病患者251例，年龄23~75(50.30±9.28)岁。

纳入标准：全部患者15天内均行DBT、超声、CE-MRI检查并经病理组织检查确诊；检查前未行乳腺手术治疗。排除标准：妊娠期或备孕期患者；已行乳腺外科手术。本研究经医院道德伦理委员会批准，并签署患者知情同意书。

1.2 检查机器、方法 DBT检查：使用GE Senograph Essential 数字乳腺三维断层摄影系统，由科内三名女性主管技师进行拍摄，检查方法：所有患者常规拍摄乳腺头尾位(eranio-caudal, CC)和内外斜位(mediolateral oblique, MLO)(45°)，采集模式为扇形步进式曝光扫描，自动旋转采集：X线管摆角为25°(±12.5°)；9次低剂量曝光；采集时间<10s。重建技术采用GE ASiR迭代技术重建图像，得到低剂量高质量的三维断层图像，可回顾性重组厚层(1cm)及薄层(1mm)任意重建影像，更好的显示乳腺病灶信息。

超声检查：采用HITACHI HI Vision Preirus超声诊断仪，线阵型高频探头，频率为5~12 MHz。患者取仰卧或侧卧，将双乳、腋窝及锁骨处去除衣物，采用先顺时针后逆时针顺序，以乳头为中心及腋窝处进行放射状全面检查。

CE-MRI检查：采用美国通用GE 1.5T超导磁共振机，机型为Brivo MR 355，使用双穴乳腺专用8通道表面线圈，患者俯卧于检查床，足先进，双乳对称，自然悬垂于线圈中，乳头对准线圈中心。动态增强选用专用高压注射器，对比剂选用钆特酸葡胺(国药准字H20153167，浓度为15mL: 5.654 g，剂量为0.2mmol/kg体重，流速2.0mL/s，注射后予以相同速度15mL生理盐水冲管。扫描序列及参数见表1。

1.3 图像分析 由科室二名副高以上医师应用双盲法对DBT、超声及CE-MRI检查进行病灶特征分析及报告书写，诊断标准：依据乳腺影像报告和数据系统(breast imaging

数字化乳腺断层摄影、超声与CE-MRI在乳腺疾病诊断中的效能对比*

李鸿恩 李晖 张丽

曾益辉 江魁明 张嫣*

广东省妇幼保健院放射科(广东广州 510000)

【摘要】目的 探讨数字乳腺断层摄影(DBT)、超声与磁共振增强扫描技术(CE-MRI)在乳腺疾病诊断效能方面的应用价值。**方法** 回顾性分析251例经手术病理证实乳腺疾病的临床资料，术前接受DBT、超声和CE-MRI检查。分析各项检查诊断乳腺疾病效能及在诊断乳腺疾病中的优缺点。**结果** 251例病理确诊乳腺疾病检查中，DBT、超声、CE-MRI检查诊断乳腺疾病准确度分别为88.05%、91.63%、93.63%，CE-MRI准确率最高，与DBT检查方法差异有统计学意义($P<0.05$)，比超声检查方法稍高，差异无统计学意义。灵敏度与阴性预测值方面，CE-MRI明显高于DBT和超声，差异具有统计学意义($P<0.05$)。特异度与阳性预测值方面，超声高于DBT和CE-MRI，差异无统计学意义。DBT、超声及CE-MRI诊断乳腺良恶性疾病的AUC值分别是0.884、0.919、0.932。**结论** DBT、超声及CE-MRI检查在诊断乳腺疾病均具有较高的临床诊断应用价值，但CE-MRI具有较高的准确度、灵敏度及阴性预测值，超声具有较高的特异度及阳性预测值。

【关键词】 数字化乳腺断层成像；超声；增强磁共振；乳腺癌

【中图分类号】 R445.2；R737.9

【文献标识码】 A

【基金项目】 广州市科技计划项目基金资助
(202002030217)

DOI:10.3969/j.issn.1672-5131.2023.03.036

【第一作者】 李鸿恩，男，主管技师，主要研究方向：乳腺磁共振诊断及技术。E-mail: 137842241@qq.com

【通讯作者】 张嫣，女，主任医师，主要研究方向：乳腺磁共振诊断。E-mail: doctorzhangyan@vip.163.com

reporting and data system, BI-RADS)对发现的病灶进行评估及分类^[10], 分类诊断标准: 0类: 临床资料不完全, 结合其他检查, 1类: 阴性, 2类: 良性病灶, 意见一年随访, 3类: 良性可能性大, 恶性可能性小<2%, 4类: 恶性可疑(3%~94%), 5类: 恶性可能性大(95%及以上), 6类: 病理活检已证实但未行手术治疗者。DBT、超声及CE-MRI诊断中4类及以上诊断为恶性。若二名医师意见不同则进行讨论达成一致。

1.4 观察指标 (1)DBT、超声及CE-MRI与病理结果比较分析; (2)观察DBT、超声、CE-MRI诊断准确度、灵敏度、特异度、阴性预测值(NPV)、阳性预测值(PPV); (3)分析各检查ROC曲线及AUC值。

1.5 统计学方法 采用SPSS 23.0统计分析软件, 采用配对²检验, P<0.05为差异有统计学意义, 以病理诊断为“金标准”, 绘制受试者工作特征(receiver operating characteristic curve, ROC)曲线, 计算ROC曲线的曲线下面积(area under curve, AUC), 来评估三种检查方法的综合诊断效能。

2 结 果

2.1 251例患者经病理检查确诊 恶性病例占54.18%(136/251), 良性病例占45.82%(115/251), 其中136例恶性病例中浸润性癌104

例, 导管原位癌25例, 导管内癌2例, 黏液腺癌1例, 囊内乳头状癌4例。115例良性病例中纤维腺瘤28例, 导管内乳头状瘤46例, 乳腺腺病30例, 乳腺囊肿4例, 炎性病灶1例, 良性叶状肿瘤6例。

2.2 DBT、超声及CE-MRI对乳腺疾病诊断效能的分析 分别计算出单项检查对乳腺疾病的准确度、灵敏度、特异度、NPV及PPV(表2, 图1)。从表格分析得知, 在诊断准确度方面, CE-MRI与DBT相比有较高的准确度($\chi^2=4.691$, P<0.05), 差异有统计学意义; CE-MRI与超声相比准确度稍高, 差异无统计学意义(P>0.05)。灵敏度方面, CE-MRI相比DBT、超声有显著高的灵敏度($\chi^2=17.145$, 10.604, P均<0.001)差异具有显著统计学意义。特异度方面, 超声相比DBT、CE-MRI有高的特异度, 差异均无统计学意义(P均>0.05)。阴性预测值(NPV)方面, CE-MRI相比DBT有显著高的阴性预测值($\chi^2=13.459$, P<0.001)差异具有显著统计学意义; 相比超声有较高的阴性预测值($\chi^2=8.375$, P<0.05)差异具有统计学意义。阳性预测值(PPV)方面, 超声相比DBT和CE-MRI有较高PPV差异无统计学意义(P>0.05)。

2.3 DBT、超声及CE-MRI检查的ROC曲线下面积比较 以病理组化为金标准, DBT、超声及CE-MRI检查诊断乳腺良恶性疾病的AUC值分别是0.884、0.919、0.932。三种检查方法AUC均大于0.75, 指示三种检查方法对乳腺疾病均有诊断意义, 详情见图2。

表1 CE-MRI扫描序列参数表

序列	TR(ms)	TE(ms)	采集次数	层厚(mm)	间距(mm)	带宽	采集时间
横位T ₁ W	571	Min Full	2	4	1	20.83	2min4s
横位T ₂ W	7266	42	2	4	1	31.25	2min33s
横位DWI	6277	Minimum	6	4	1	/	2min37s
矢位T ₂ W	3036	85	2	3	1	31.25	1min31s
横位动态增强	5.3	2.5	1	3	0	62.50	7min9s
矢位增强	4.6	Minimum	1	3	0	62.50	1min8s

表2 DBT、超声、CE-MRI及联合检查对乳腺疾病诊断效能分析

检查方法	准确度(%)	灵敏度(%)	特异度(%)	阴性预测值(%)	阳性预测值(%)
DBT	88.05(221/251)	84.56(115/136)	92.17(106/115)	83.46(106/127)	92.74(115/124)
超声	91.63(230/251)	88.97(121/136)	94.78(109/115)	87.90(109/124)	95.28(121/127)
CE-MRI	93.63(235/251)	98.53(134/136)	87.82(101/115)	98.06(101/103)	90.54(134/148)

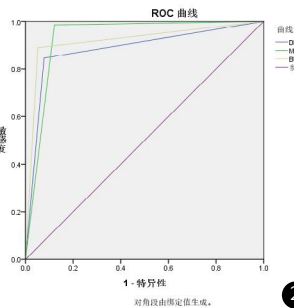
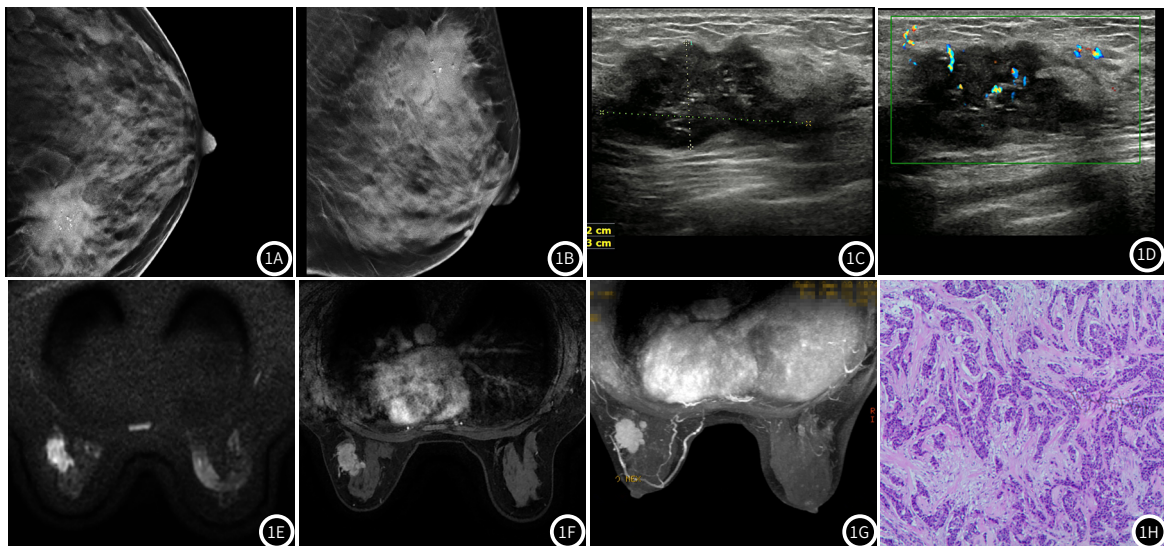


图1 同一患者, 女性, 46岁, 病理确诊左侧乳腺浸润性癌。图1A~图1B: DBT图示左乳外上方(CC断层6/9, MLO断层5/11)可见不规则肿块影, 大小约2.8×2.5cm, 边界不清, 其内可见多发点状钙化灶, 周围腺体纠结紊乱, 诊断左乳符合BI-RADS 5级改变。图1C~图1D: 超声图示左乳腺内可见1个不规则形低回声区, 大小约18mm(纵径)×36mm(横径), 边缘模糊, 内部回声不均匀, 内部可见散在点状强回声, 后方回声无明显改变, 位于2点钟处, 距乳头30mm。CDFI: 低回声区边缘及内部可见1~3条血管, 诊断左乳腺BI-RADS分级5级。图1E~图1G: CE-MRI图示左乳外上象限1~2点见一大约2.3×3.3×3.2cm的团块状占位影, 呈分叶状, T1加权像上呈稍低信号, T₂加权像上不均匀略高信号, DWI呈明显弥散受限, 增强后边界清楚, 可见毛刺, 早期强化明显, 延迟期强持续强化, 病灶内部信号欠均匀, 邻近乳管扩张积液。诊断左乳外上象限1~2点占位, 考虑恶性, BI-RADS 5。图1H: 病理免疫组织显示乳腺浸润性癌, 非特殊类型, WHO分级II级, 评分7分(腺管和腺体形成3分, 核异型2分, 核分裂像2分)。图2 ROC曲线下面积对比。

3 讨 论

乳腺癌严重威胁女性身心健康，我国每年新增乳腺癌病例约27万例，且逐年递增^[11]，因此，乳腺癌筛查越来越受到社会的认可和重视，早期乳腺癌筛查显得尤其重要，目前乳腺常规检查有很多，乳腺超声检查已广泛应用到临床^[12]，本研究主要采用乳腺新技术DBT、超声及CE-MRI三者检查进行乳腺疾病诊断效能对比分析。

乳腺新技术DBT检查采用三维成像方式，在球管有限范围(10°~200°)内进行曝光^[13]，常规进行8~20次低剂量曝光，再经计算机重建系统进行数据分析，能够减少或消除乳腺重叠组织和结构噪声的影响，能提高病变准确度、灵敏度及诊断特异度^[14]，国外《柳叶刀肿瘤The Lancet Oncology》多项研究表明DBT检测乳腺癌灵敏度为81.1%，本文研究DBT检查灵敏度为84.56%，与文献研究数值接近，Michell等^[15]文献研究DBT检查特异度为74%，Whelehan等^[16]研究女性年龄50~69周岁乳腺筛查中显示，DBT检查特异度为64%，本文研究DBT特异度为92.17%，相比文献高主要原因是我院DBT检查采取轴位、斜位双位置拍摄，提高了病灶检出率及特异度。

超声乳腺检查无辐射、操作简便、实惠、可重复操作，常用于乳腺疾病初步筛查检查，超声检查不使用对比剂，扫描范围全面，能查看病灶形态及血流特征，有助于判断乳腺疾病良恶性，能查看腋下及其他局部是否转移。文献研究显示，超声诊断乳腺疾病准确度为83.25%^[17]，本文研究超声诊断准确度88.97%，与文献研究数值接近，另外在特异度及阳性预测值方面相比DBT及CE-MRI具有较高的数值。

CE-MRI检查采用动态增强方法，能够提供乳腺病灶早期强化率及绘制时间-信号强度曲线(TIC曲线)，根据病灶形态表现、信号强度、强化方式、ADC、TIC曲线来综合评判乳腺病灶的良恶性，文献显示恶性病变TIC曲线多以II型和III型曲线为主，对诊断乳腺恶性疾病有很大帮助，能大大提高检查特异度，本文研究显示CE-MRI灵敏度(98.53%)显著高于DBT和超声(84.56%，88.97%)，与文献研究一致^[18]，CE-MRI在数值方面本研究计算出灵敏度(98.53%)、特异度(87.83%)、PPV(90.54%)与邹明等文献研究灵敏度(96.7%)、特异度(88.3%)、PPV(91.7%)结果大致一样。CE-MRI分析乳腺疾病时主要包含病灶形态学及乳腺功能成像，常规MRI平扫能多参数、多信号清晰显示乳腺病灶形态、大小、边界及腋窝淋巴结情况，功能成像弥散加权成像(diffusion weighted imaging, DWI)及动态增强扫描，DWI原理是水分子布朗运动，导致其扩散能力差异不同，从而反映组织的结构特点，采用表观扩散系数(ADC)来显示测量值，越恶性病变ADC值越低，文献研究显示，肿瘤细胞密度与ADC值呈负相关性^[19-20]，能很好的区分组织良恶性，提高乳腺疾病诊断准确度，本研究显示，CE-MRI较DBT、超声在诊断乳腺疾病准确度有明显差异，具有统计学意义。

研究不足之处：检查技术方面，超声检查在显示早期细微钙化及微小病灶显示欠佳^[21]，同时容易受操作者主观因素影响。DBT检查不足之处：需要多次曝光，相比常规FFDM，患者接收辐射剂量增多，另外DBT重建后的断层图像，边缘层面不能包含病灶全部，使图像深度分辨率降低，容易造成诊断漏诊^[22]。磁共振检查时间长、费用高，限制其在早期乳腺癌常规筛查中普遍使用。

综上所述，DBT、超声及CE-MRI检查均能准确诊断乳腺疾病，但在准确度、灵敏度及NPV方面，CE-MRI能够显示病灶TIC曲线、多参数成像，对乳腺疾病诊断准确度、灵敏度及NPV最高，超声检测乳腺疾病无电力辐射、可重复多次操作、能查看乳腺新生血管血供及淋巴结转，特异度及PPV较其他两种检查有优势，DBT因能减少影像组织重叠影、三维成像方式，在显示乳腺疾病方面中规中矩，三者检查均能很好显示乳腺疾病情况，在检

测乳腺疾病诊断中能起到很大的作用，能够为临床诊断及治疗提供可靠依据。

参考文献

- [1] Dora L, Agrawal S, Panda R, et al. Optimal breast cancer classification using Gauss-Newton representation based algorithm[J]. Expert Systems with Applications, 2017, 85(11): 134-145.
- [2] 陈万青, 郑荣寿. 中国女性乳腺癌发病死亡和生存状况[J]. 中国肿瘤临床, 2015(13): 38-44.
- [3] Khodari W, Sedrati A, Naisse I, et al. Impact of loco-regional treatment on metastatic breast cancer outcome: A review[J]. Critical Reviews in Oncology/hematology, 2013, 87(1): 69-79.
- [4] Destounis S V, Morgan R, Arieno A. Screening for dense breasts: Digital breast tomosynthesis[J]. AJR Am J Roentgenol, 2015, 204(2): 261-264.
- [5] 尚宝锋. 全数字化乳腺摄影和彩超对乳腺疾病的诊断效果分析[J]. 西南国防医药, 2015, 25(7): 758-760.
- [6] Haas B M, Kalra V, Geisel J, et al. Comparison of tomosynthesis plus digital mammography and digital mammography alone for breast cancer screening[J]. Radiology, 2013, 269(3): 694-700.
- [7] Li Z, Sun J, Zhang J, et al. Quantification of Acoustic Radiation Force Impulse in Differentiating Between Malignant and Benign Breast Lesions[J]. Ultrasound in Medicine & Biology, 2014, 40(2): 287-292.
- [8] 张恒伟, 李军涛, 吕民豪, 等. 数字乳腺三维断层摄影技术在乳腺癌诊断中的价值[J]. 中华医学杂志, 2017, 97(18): 1387-1390.
- [9] 邹明, 王永杰, 金彪, 等. 对比增强能谱乳腺X线摄影与CE-MRI对乳腺疾病诊断效能的比较[J]. 中国医学计算机成像杂志, 2018, v. 24(3): 211-214.
- [10] Rao Ajay Aroor, Feneis Jennifer, Lalonde Chloe, Ojeda-Fournier Haydee. A Pictorial Review of Changes in the BI-RADS Fifth Edition[J]. Radiographics: A review publication of the Radiological Society of North America, Inc, 2016, 36(3).
- [11] Wanqing Chen PhD, MD, Rongshou Zheng M P H, et al. Cancer statistics in China, 2015[J]. CA: A Cancer Journal for Clinicians, 2016, 66(2).
- [12] Tohno E, Ueno E, Watanabe H. Ultrasound screening of breast cancer[J]. Breast Cancer, 2009, 16(1): 18-22.
- [13] 梁燮, 秦耿耿, 蔡裕兴, 等. 数字乳腺断层摄影中乳腺分型和厚度与腺体剂量的关系[J]. 广东医学, 2015, 36(19): 2969-2971.
- [14] 边甜甜, 林青, 李丽丽, 等. 对比数字乳腺断层合成与乳腺X线摄影对致密型乳腺内肿块的诊断价值[J]. 中华放射学杂志, 2015, 49(7): 483-487.
- [15] Michell M J, Iqbal A, Wasan R K, et al. A comparison of the accuracy of film-screen mammography, full-field digital mammography, and digital breast tomosynthesis[J]. Clinical Radiology, 2012, 67(10).
- [16] Whelehan P, Heywang-Köbrunner S H, Vinnicombe S J, et al. Clinical performance of Siemens digital breast tomosynthesis versus standard supplementary mammography for the assessment of screen-detected soft-tissue abnormalities: A multi-reader study[J]. Clinical Radiology, 2017, 72(1): 95.e9-95.e15.
- [17] 朱雪萍, 王纯杰, 王汝香. 彩色多普勒超声与X线钼靶联合应用对乳腺癌的诊断价值[J]. 中国超声医学杂志, 2002, 18(10): 790-792.
- [18] 庄姗, 赵玉年, 陈骏, 等. X线摄影、三维断层摄影和磁共振对乳腺导管原位癌的诊断价值比较[J]. 中国肿瘤外科杂志, 2019, 11(05): 354-357.
- [19] Del Turco M R, Mantellini P, Ciatto S, et al. Full-field digital versus screen-film mammography: Comparative accuracy in concurrent screening cohorts[J]. AJR Am J Roentgenol, 2007, 189(4): 860-866.
- [20] Tse G M, Tan P H, Moriya T. The role of immunohistochemistry in the differential diagnosis of papillary lesions of the breast[J]. Journal of Clinical Pathology, 2009, 62(5): 407-13.
- [21] Menes T S, Rosenberg R, Balch S, et al. Upgrade of high-risk breast lesions detected on mammography in the Breast Cancer Surveillance Consortium[J]. American Journal of Surgery, 2014, 207(1): 24-31.
- [22] Chan Heang-Ping, Wu Yi-Ta, Sahiner Berkman, et al. Characterization of masses in digital breast tomosynthesis: Comparison of machine learning in projection views and reconstructed slices[J]. Medical physics, 2010, 37(7).

(收稿日期: 2020-12-23)

(校对编辑: 孙晓晴)